

УДК 517.9

**ОБ ОСЦИЛЛЯЦИОННЫХ СВОЙСТВАХ НЕКОТОРЫХ ДВУМЕРНЫХ
ЛИНЕЙНЫХ СИСТЕМ ДИФФЕРЕНЦИАЛЬНЫХ УРАВНЕНИЙ**

**ABOUT THE OSCILLATION PROPERTIES OF SOME TWO-DIMENSIONAL
LINEAR SYSTEM OF DIFFERENTIAL EQUATIONS**

©Саакян Г. Г.

канд. физ.-мат. наук

Арцахский государственный университет

г. Степанакерт, Армения, ter_saak_george@mail.ru

©Sahakyan G.

Ph.D., Artsakh State University

Stepanakert, Armenia, ter_saak_george@mail.ru

Аннотация. В статье [1] автор приводит критерий, позволяющий при определенных предположениях находить количество нулей компонент решений двумерных линейных систем дифференциальных уравнений

$$\begin{cases} y_1' = p(t)y_2, \\ y_2' = r(t)y_1, \end{cases}$$

на конечном интервале в предположении, что до $p, r \in C^2[a, b]$. Цель настоящей работы — используя указанный критерий — рассмотреть на полупрямой осцилляционные свойства систем (1), коэффициенты которых являются степенными или экспотенциальными функциями.

Abstract. In the article [1] the author under certain assumptions gives a criterion to find the number of zeros the component of solutions of two-dimensional linear systems of differential equations

$$\begin{cases} y_1' = p(t)y_2, \\ y_2' = r(t)y_1, \end{cases}$$

on the finite interval. The aim of this work is using the specified criteria to consider oscillations properties of systems (1), whose coefficients are exponential or expotentially functions.

Ключевые слова: двумерная линейная однородная система дифференциальных уравнений, осцилляция.

Keywords: two-dimensional linear homogenous system of differential equations, oscillation.

Рассматривается двумерная линейная однородная система

$$\begin{cases} y_1' = p(t)y_2, \\ y_2' = r(t)y_1, \end{cases} \quad (1)$$

в предположении, что до $p, r \in C[a, b]$.

Определение 1. Нетривиальное решение $\begin{pmatrix} y_1(t) \\ y_2(t) \end{pmatrix}$ системы (1) назовем осциллирующим на $[a, b]$, если каждая из его компонент обращается в нуль в некоторой точке $[a, b]$, т.е. $y_i(t_i) = 0$, $t_i \in [a, b]$, $i = 1, 2$.

В случае, когда система (1) рассматривается на всей числовой прямой, будем пользоваться следующим определением (см., например, [2], [3]).

Определение 2. Нетривиальное решение системы (1) называется осциллирующим (см., например, [2]), если каждая из его компонент имеет последовательность нулей, стремящейся к бесконечности; в противном случае называется неосциллирующим.

Определение 3. Система (1) называется осциллирующей, если она имеет хотя бы одно осциллирующее решение, в противном случае система (1) называется неосциллирующей.

Для дальнейшего изложения нам понадобится следующая теорема (см. [4]).

Теорема 1. Пусть в системе (1) $p, r \in C^2[a, b]$,

$$P(t) = -\frac{p(t)}{r(t)},$$

1. $p'(t) \leq 0, r'(t) \geq 0, \quad (p'(t) \geq 0, r'(t) \leq 0),$
2. $P'(t) \geq 0 \quad (P'(t) \leq 0),$
3. $(\ln P(t))'' \geq 0,$

Тогда, если уравнения

$$\int_a^t \sqrt{-p(\tau)r(\tau)} d\tau = \pi k, \quad k \in Z, \quad (2a)$$

и

$$\int_a^t \sqrt{-p(\tau)r(\tau)} d\tau = \frac{\pi}{2} + \pi n, \quad n \in Z \quad (2b)$$

имеют корни на отрезке $[a, b]$, причем $n_1 = n_2 + 1$, где n_1 — число корней уравнения (2a), а n_2 — уравнения (2b), то число нулей первой (второй) компоненты всякого нетривиального решения системы (1.1) на $[a, b]$ совпадет с числом корней уравнения (2a) ((2b)) или будет отличаться на единицу.

Из уравнений (2a) и (2b) следует, что $n_1 - 1 \leq n_2 \leq n_1$. Тогда из утверждения теоремы будет следовать, что если имеют место условия теоремы, то осцилляционные свойства системы (1) напрямую зависят от поведения корней уравнения (2a) — чем больше их количество на рассматриваемом отрезке, тем сильнее осцилляция системы.

Перейдем теперь к рассмотрению осцилляционных свойств системы

$$\begin{cases} y_1' = t^m y_2, \\ y_2' = -t^n y_1, \end{cases} \quad (3)$$

в предположении, что $t \geq 0$. Рассмотрим систему (3) сначала на конечном отрезке $[a, b] \subset [0, \infty)$.

1. Пусть $m, n \geq 0, m \leq n$. Имеем

- 1) $p, r \in C^2[a, b], p(t) > 0, r(t) < 0,$
- 2) $p'(t) = mt^{m-1} \geq 0, -r'(t) = nt^{n-1} \geq 0,$
- 3) $P'(t) = \left(-\frac{p(t)}{r(t)} \right)' = (t^{m-n})' = (m-n)t^{m-n-1} \leq 0,$
- 4) $(\ln P(t))'' = (\ln t^{m-n})'' = -\frac{m-n}{t^2} \geq 0.$

Таким образом имеют место условия теоремы 1. И, следовательно, число нулей компонент решений системы (3) будет определяться числом корней уравнения (2a), которое при этом будет иметь вид

$$\int_a^t \tau^{\frac{m+n}{2}} d\tau = \frac{\tau^{\frac{m+n}{2}+1}}{\frac{m+n}{2}+1} \Big|_a^t = \frac{t^{\frac{m+n}{2}+1} - a^{\frac{m+n}{2}+1}}{\frac{m+n}{2}+1} = \pi k, k \in Z.$$

Откуда найдем,

$$t^{\frac{m+n+2}{2}} = \left(\frac{m+n+2}{2} \right) \pi k + a^{\frac{m+n+2}{2}}, k \in Z.$$

Учитывая принадлежность корней отрезку $[a, b]$, и, обозначив $l = \frac{m+n+2}{2}$, будем иметь

$$a^l \leq l\pi k + a^l \leq b^l, k \in Z,$$

или

$$0 \leq l\pi k \leq b^l - a^l, k \in Z. \quad (4)$$

Поскольку $l > 0$, то из неравенства (4), во-первых, будет следовать, что уравнения (2a) и (2b) будут иметь более одного корня, если

$$\frac{b^l - a^l}{l} \geq \frac{3\pi}{2}.$$

Во-вторых, можно сделать вывод, что при малых значениях a и b осцилляция будет слабой (маленькая плотность нулей), поскольку будет малой и разность $b^l - a^l$, и вследствие чего число значений k , удовлетворяющих неравенству (4), будет мало. С увеличением

значений a и b разность $b^l - a^l$, очевидно, будет расти, а значит, осцилляция будет усиливаться. И, следовательно, согласно определению 3, система (3) будет осциллирующей на полупрямой $t \geq a$. На Рисунке 1 приводится график частного решения системы

$$\begin{cases} y_1' = t^4 y_2, \\ y_2' = -t^3 y_1, \end{cases} \quad (5)$$

на отрезке $[0, 5]$ при начальных условиях $y_1(0) = -1, y_2(0) = 1$ (здесь и всюду в дальнейшем на рисунках y_0 соответствует компоненте y_1 , а y_1 соответствует компоненте y_2), построенный в среде Mathcad. Здесь $m = 4, n = 3$.

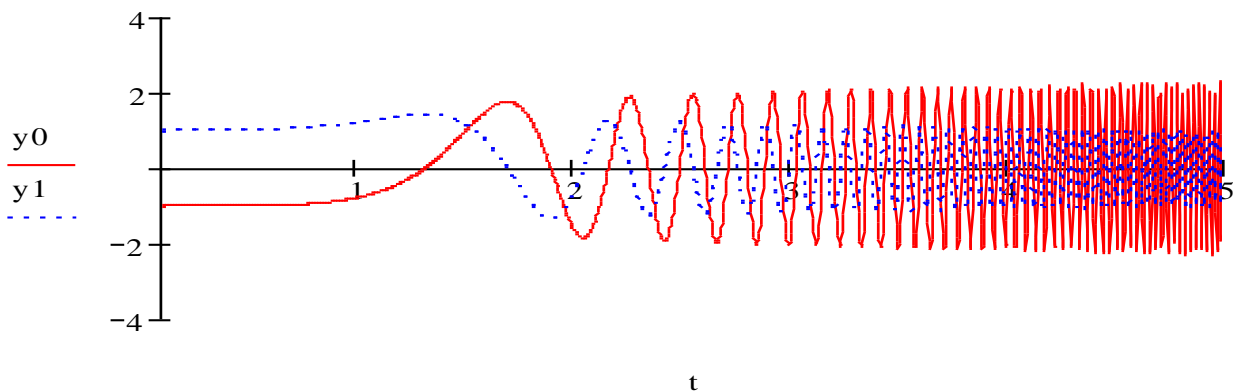


Рисунок 1. График частного решения системы (3) при $m = 4, n = 3$

Из Рисунка 1 видно, что с увеличением значений a и b плотность нулей растет — осцилляция усиливается.

2. Рассмотрим теперь систему (3) в предположении, что $m \leq n \leq 0, m + n < -2$. В этом случае мы будем иметь $l < 0$, и из неравенства (4) найдем, что

$$\frac{b^l - a^l}{\pi l} \leq k \leq 0, \quad k \in Z,$$

или

$$\frac{b^{|l|} - a^{|l|}}{\pi |l| (ab)^{|l|}} \leq k \leq 0, \quad k \in Z. \quad (6)$$

Отсюда будет следовать, что чем меньше значения a и b , тем большее количество значений k будет удовлетворять этому неравенству, причем, с приближением a и b к нулю, их число будет расти и стремиться к бесконечности. Таким образом мы получим, что при малых a и b осцилляция будет сильнее, чем при больших. С другой стороны, если зафиксировать a , а b взять достаточно большим, то неравенству (6) в этом случае не будет удовлетворять ни

одно значение k . Отсюда следует, что система (3) не будет осциллирующей на полупрямой $t \geq a$. На Рисунке 2 приводятся графики частного решения системы

$$\begin{cases} y_1' = \frac{1}{t^5} y_2, \\ y_2' = -\frac{1}{t^4} y_1, \end{cases}$$

соответственно на отрезках $[0,1;5]$ и $[100,150]$ при начальных условиях $y_1(0)=-1, y_2(0)=1$, наглядно демонстрирующие вышеприведенные рассуждения. В данном случае $m=-5, n=-4$.

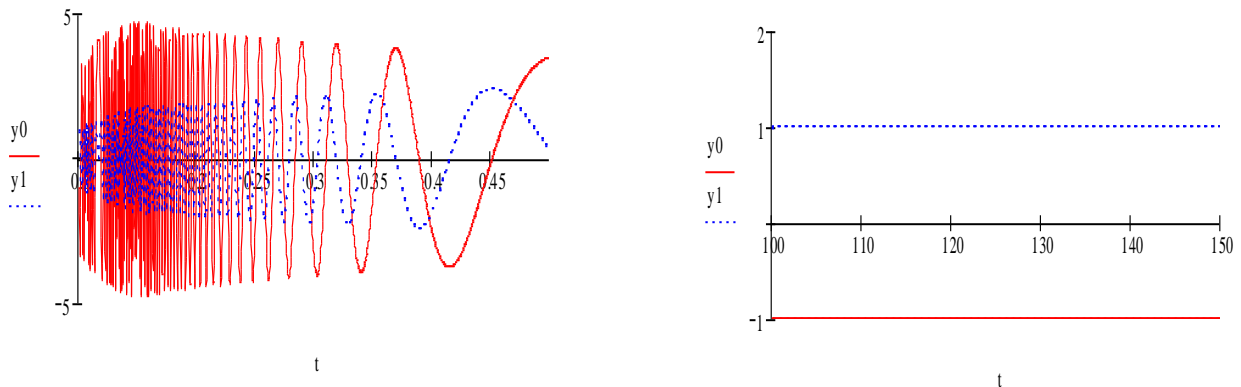


Рисунок 2. Графики частного решения системы (3) при $m=-5, n=-4$

3. Рассмотрим теперь случай $m \leq n \leq 0, -2 < m+n < 0$. При этом будем иметь $l > 0$, и, для определения числа корней вновь можем воспользоваться неравенством (4), откуда будет следовать, что при малых, близких к нулю значений a и b , осцилляция будет проявляться относительно сильнее, чем при больших a и b , причем при любом достаточно большем b найдутся значения k , удовлетворяющие неравенству (4). Таким образом приходим к выводу, что в рассматриваемом случае система (3) будет осциллирующей.

На Рисунке 3 приводятся графики частного решения системы

$$\begin{cases} y_1' = \frac{1}{\sqrt{t}} y_2, \\ y_2' = -\frac{1}{\sqrt[4]{t}} y_1, \end{cases}$$

на отрезках $[0,1;50]$ и $[50;100]$ при начальных условиях $y_1(0)=-1, y_2(0)=1$, наглядно демонстрирующие вышеприведенные рассуждения. В данном случае $m=-1/2, n=-1/4$.

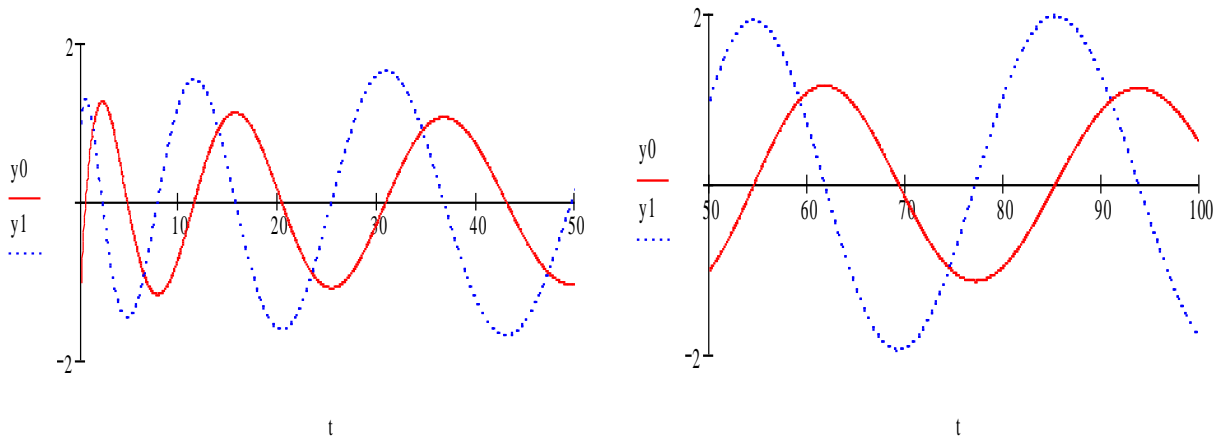


Рисунок 3. Графики частного решения системы (3) при $m = -1/2, n = -1/4$

4. Рассмотрим теперь систему (3) в предположении, что $m \leq n \leq 0, m + n = -2$. Уравнение (2a) при этом примет вид

$$\int_a^t \tau^{\frac{m+n}{2}} d\tau = \int_a^t \frac{d\tau}{\tau} = \ln \tau \Big|_a^t = \ln t - \ln a = \pi k, k \in Z,$$

откуда, учитывая принадлежность корней отрезку $[a, b]$, найдем

$$\ln a \leq \ln a + \pi k \leq \ln b, k \in Z,$$

или

$$0 \leq \pi k \leq \ln \frac{b}{a}, k \in Z. \quad (7)$$

Из этого соотношения следует, что осцилляция на отрезке $[a, b]$ возможна лишь при условии, что $\ln \frac{b}{a} \geq \pi$ или $\frac{b}{a} \geq e^\pi$. В частности, если зафиксировать значение a , а b устремить в бесконечность, то найдется бесконечное число значений значений k , удовлетворяющих неравенству (7). Откуда будет следовать, что решения, а значит, и системы такого вида будут осциллировать на всей полупрямой $t > 0$. На Рисунке 4 приводится график частного решения системы

$$\begin{cases} y_1' = \frac{1}{t\sqrt{t}} y_2, \\ y_2' = -\frac{1}{\sqrt{t}} y_1, \end{cases}$$

на отрезке $[20, 800]$ при начальных условиях $y_1(0) = 1, y_2(0) = -1$ ($m = -3/2, n = -1/2$)

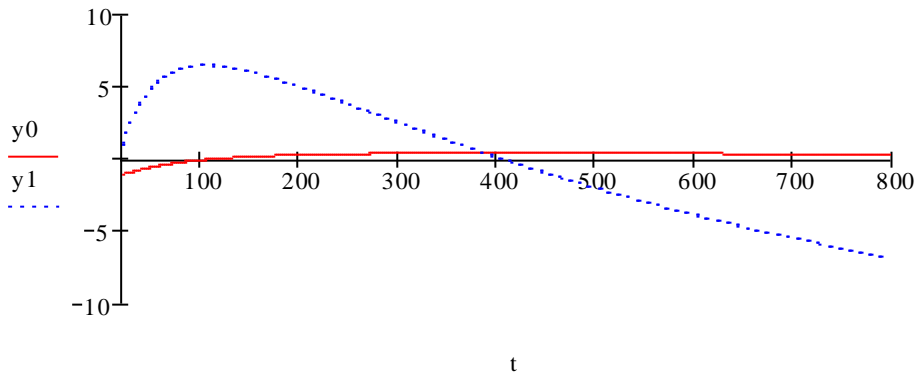


Рисунок 4. График частного решения системы (3) при $m = -3/2, n = -1/2$

Обобщая вышеизложенное, приходим к выводу, что имеет место следующая

Теорема 2. Если в системе

$$\begin{cases} y_1' = t^m y_2, \\ y_2' = -t^n y_1, \end{cases}$$

$m \leq n$ и выполняется одно из условий: $m \geq 0, n \geq 0$ или $m \leq 0, n \leq 0$ и $m+n \geq -2$, то система осциллирует на всей полупрямой $t > 0$. В случае $m < 0, n < 0$ и $m+n < -2$ система неосциллирует.

Перейдем теперь к рассмотрению осцилляционных свойств систем

$$\begin{cases} y_1' = e^{mt} y_2, \\ y_2' = -e^{nt} y_1. \end{cases} \quad (8)$$

Как и выше, рассмотрим систему (8) сначала на конечном отрезке $[a, b] \subset (0, \infty)$.

1. Предположим, что $m = -n$. В этом случае, уравнение (2а) примет вид

$$\int_a^t d\tau = t - a = \pi k, \quad k \in \mathbb{Z}.$$

Число значений k , удовлетворяющих этому соотношению, определится из условия

$$0 \leq \pi k \leq b - a, \quad k \in \mathbb{Z}.$$

Отсюда будет следовать, что на любом отрезке длиной большей или равной $\frac{3}{2}\pi$, решение системы будет осциллировать. А, значит, любое нетривиальное решение системы будет осциллировать на всей полупрямой, и, следовательно, система (8) в рассматриваемом случае является осциллирующей на полупрямой $t \geq 0$. На Рисунке 5 приводится график частного решения системы

$$\begin{cases} y_1' = e^{0.1t} y_2, \\ y_2' = -e^{-0.1t} y_1, \end{cases}$$

на отрезке $[0, 20]$ при начальных условиях $y_1(0) = -1, y_2(0) = 1$.

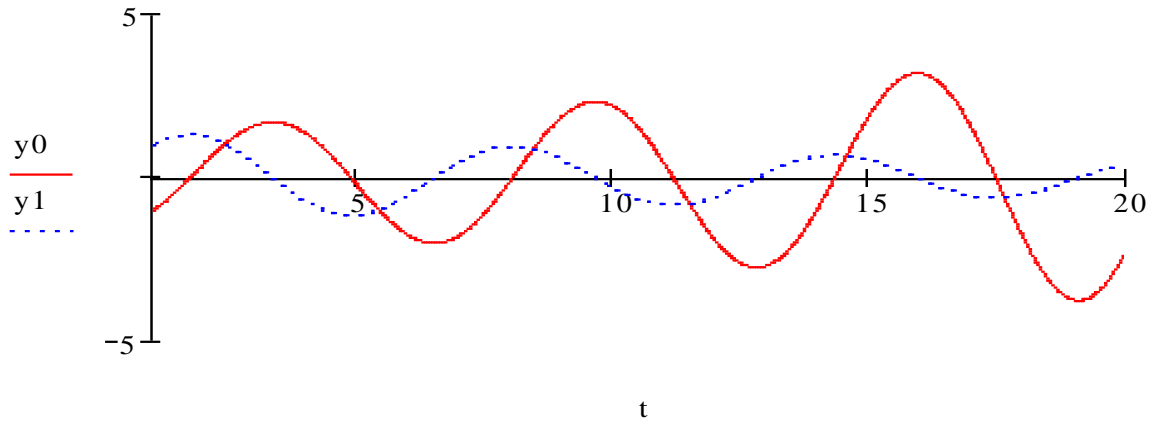


Рисунок 5. График частного решения системы (8) при $m = 0.1, n = -0.1$

2. Пусть $m \geq 0, n \geq 0$. Имеем

5) $p, r \in C^2[a, b], p(t) > 0, r(t) < 0,$

6) $p'(t) = m e^{mt} \geq 0, -r'(t) = n e^{nt} \geq 0,$

7) $P'(t) = \left(-\frac{p(t)}{r(t)} \right)' = \left(e^{(m-n)t} \right)' = (m-n)e^{(m-n)t},$

8) $(\ln P(t))'' = (\ln e^{(m-n)t})'' = 0.$

Таким образом имеют место условия теоремы 1. И, следовательно, число нулей компонент решений системы (1) будет определяться числом корней уравнения (2а), которое при этом будет иметь вид

$$\int_a^t e^{\frac{m+n}{2}\tau} d\tau = \frac{2}{m+n} e^{\frac{m+n}{2}\tau} \Big|_a^t = \frac{2}{m+n} \left(e^{\frac{m+n}{2}t} - e^{\frac{m+n}{2}a} \right) = \pi k, k \in \mathbb{Z}.$$

Откуда найдем

$$e^{\frac{m+n}{2}t} = \left(\frac{m+n}{2} \right) \pi k + e^{\frac{m+n}{2}a}, k \in \mathbb{Z}.$$

Учитывая принадлежность корней отрезку $[a, b]$, и, обозначив $l = \frac{m+n}{2}$, будем иметь

$$e^{al} \leq l\pi k + e^{lt} \leq e^{bl}, k \in \mathbb{Z},$$

или

$$0 \leq l\pi k \leq e^{bl} - e^{al}, \quad k \in \mathbb{Z}. \quad (9)$$

Из соотношения (9), во-первых, следует, что уравнения (2a) и (2b) будут иметь корни, если

$$\frac{e^{bl} - e^{al}}{l} \geq \frac{3}{2}\pi.$$

Во-вторых, можно сделать вывод, что при малых значениях a и b осцилляция будет слабой (маленькая плотность нулей), поскольку будет малой и разность $e^{bl} - e^{al}$, и вследствие чего число значений k , удовлетворяющих неравенству (9), будет мало. С увеличением значений a и b разность $e^{bl} - e^{al}$, очевидно, будет расти, а значит, осцилляция будет усиливаться. И, следовательно, согласно определению 3, система (1) будет осциллирующей на всей полупрямой $t > 0$. На Рисунке 6 приводится график частного решения системы

$$\begin{cases} y_1' = e^t y_2, \\ y_2' = -e^{2t} y_1, \end{cases}$$

на отрезке $[0, 3]$ при начальных условиях $y_1(0) = -1, y_2(0) = 1$.

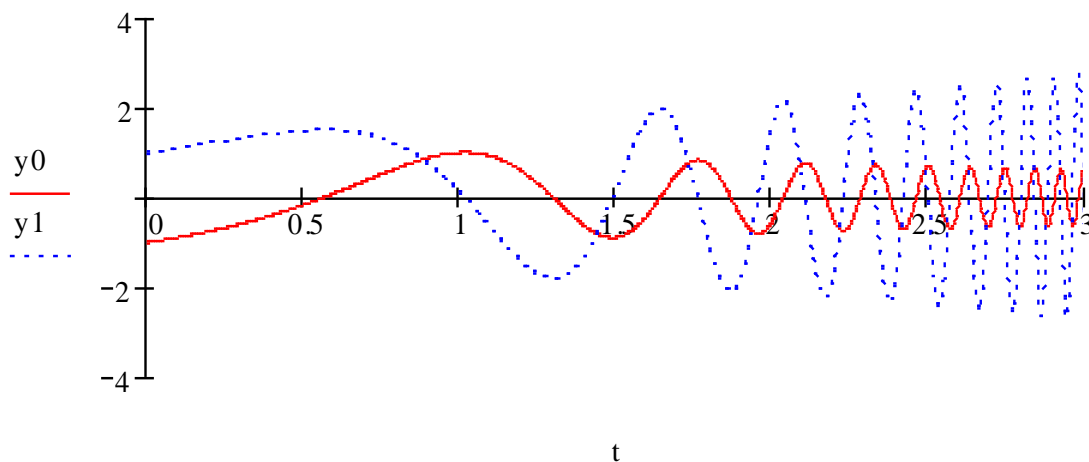


Рисунок 6. График частного решения системы (8) при $m = 1, n = 2$

Из Рисунка 6 видно, что с увеличением значений a и b плотность нулей растет — осцилляция усиливается.

3. Рассмотрим теперь систему (8) в предположении, что $m < 0, n < 0$. Нетрудно проверить, что и в этом случае имеют место условия теоремы 1. И, поскольку $l < 0$, то из соотношений (4) найдем, что

$$\frac{e^{bl} - e^{al}}{\pi l} \leq k \leq 0, \quad k \in \mathbb{Z}.$$

Из этого неравенства следует, что такие значения k найдутся, если l будет достаточно малым, причем при достаточно больших a и b таких значений не будет (затухание осцилляции). Отсюда следует, что система (8) не будет осциллирующей на всей полупрямой $t > 0$. На Рисунке 7 приводятся графики частных решений систем

$$\begin{cases} y_1' = e^{-0.1t} y_2, \\ y_2' = -e^{-0.11t} y_1, \end{cases} \quad \text{и} \quad \begin{cases} y_1' = e^{-t} y_2, \\ y_2' = -e^{-2t} y_1, \end{cases}$$

соответственно на отрезках $[0,10]$ и $[10,120]$ при начальных условиях $y_1(0) = -1$, $y_2(0) = 1$, наглядно демонстрирующие вышеприведенные рассуждения. В первом случае $m = -0.1$, $n = -0.11$, а во втором — $m = -1$, $n = -2$.

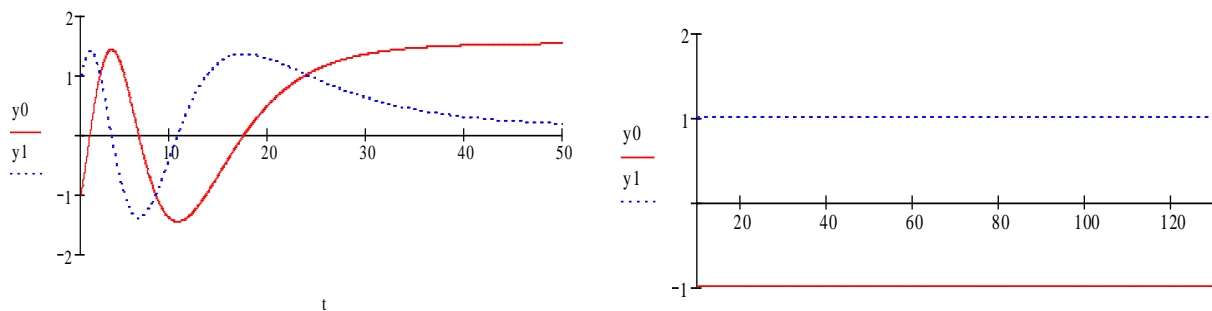


Рисунок 7. Графики частного решения системы (8) при $m = -1$, $n = -2$

Обобщая вышеизложенное, приходим к выводу, что имеет место следующая

Теорема 3. Если в системе

$$\begin{cases} y_1' = e^{mt} y_2, \\ y_2' = -e^{nt} y_1, \end{cases}$$

$m \geq 0$, $n \geq 0$, то система осциллирует на всей полупрямой $t \geq 0$. В случае $m < 0$, $n < 0$ система неосциллирует.

Список литературы:

1. Саакян Г. Г. О некоторых свойствах решений канонической системы Дирака // Ученые записки ЕрГУ. 2007. №2. С. 3-11.
2. Lomtadze A., Partsvania N. Oscillation and nonoscillation criteria two-dimensional systems of first linear ordinary differential equations // Georgian Math. J. 1999. V. 6. №3. P. 285-298.
3. Polak L. Oscillation and nonoscillation criteria for two-dimensional systems of linear ordinary differential equations // Georgian Math. J. 2004. V. 11. №1. P. 137-154.
4. Саакян Г. Г. О некоторых теоремах сравнения для двумерных линейных систем дифференциальных уравнений и их приложениях // Бюллетень науки и практики 2017. №3.

С. 14-27. Режим доступа: <http://www.bulletennauki.com/sahakyan> (дата обращения 15.09.2017). DOI: 10.5281/zenodo.399058.

References:

1. Sahakyan, G. G. (2007). О некоторых свойствах решений канонической системы Дирака. *Ученые Записки ЕСУ*, (2), 3-11
2. Lomtadze, A., & Partsvania, N. (1999). Oscillation and nonoscillation criteria two-dimensional systems of first linear ordinary differential equations. *Georgian Math. J.*, 6, (3), 285-298
3. Polak, L. (2004). Oscillation and nonoscillation criteria for two-dimensional systems of linear ordinary differential equations. *Georgian Math. J.*, 11, (1), 137-154
4. Sahakyan, G. (2017). About some comparison theorems for two-dimensional linear systems of differential equations and their applications. *Bulletin of Science and Practice*, (3), 14-27. doi:10.5281/zenodo.399058

*Работа поступила
в редакцию 19.09.2017 г.*

*Принята к публикации
23.09.2017 г.*

Ссылка для цитирования:

Саакян Г. Г. Об осцилляционных свойствах некоторых двумерных линейных систем дифференциальных уравнений // Бюллетень науки и практики. Электрон. журн. 2017. №10 (23). С. 10-20. Режим доступа: <http://www.bulletennauki.com/sahakyan-g> (дата обращения 15.10.2017).

Cite as (APA):

Sahakyan, G. (2017). About the oscillation properties of some two-dimensional linear system of differential equations. *Bulletin of Science and Practice*, (10), 10-20